

3.2.8. Деформации внешней оболочки голой «планеты»

Подобно тому, как это делалось в п. 2.3.3.1 в [9], о деформациях внешней оболочки голой «планеты» будем судить по относительному удлинению (2.1.30) в [9]

$$l_i^{(\pm)} = \sqrt{1 + \frac{g_{ii}^{(\pm)} - g_{ii}^{0(\pm)}}{g_{ii}^{0(\pm)}}} - 1 = \sqrt{\frac{g_{ii}^{(\pm)}}{g_{ii}^{0(\pm)}}} - 1, \quad (3.2.82)$$

где

$g_{ij}^{0(\pm)}$ – компоненты метрического тензора исходного (идеального) состояния исследуемого участка $\lambda_{6\pm 7}$ -вакуума;

$g_{ij}^{(\pm)}$ – компоненты метрического тензора деформированного (актуального) состояния того же участка $\lambda_{6\pm 7}$ -вакуума.

В метриках (3.2.35а) – (3.2.35г) за различные аспекты деформаций внешней оболочки голой «планеты» (т. е. за актуальное состояние протяженности $\lambda_{6\pm 7}$ -вакуума, окружающей ядро голой «планеты») отвечают следующие компоненты метрических тензоров

$$g_{11}^{(-a)} = -\frac{1}{\left(1 - \frac{r_{n1}}{r}\right)}, \quad g_{11}^{(-b)} = -\frac{1}{\left(1 + \frac{r_{n2}}{r}\right)}, \quad g_{11}^{(+c)2} = \frac{1}{\left(1 - \frac{r_{n3}}{r}\right)}, \quad g_{11}^{(+d)2} = \frac{dr^2}{\left(1 + \frac{r_{n4}}{r}\right)}. \quad (3.2.83)$$

Идеальное (т. е. исходное) состояние того же участка $\lambda_{6\pm 7}$ -вакуума описывают метрики (3.2.35и) и (3.2.35к), в частности единичные компоненты метрических тензоров

$$g_{11}^{0(-)} = -1, \quad g_{11}^{0(+)} = 1. \quad (3.2.84)$$

Найдем сначала средние значения

$$g_{11}^{(-)} = \frac{1}{2} \left(g_{11}^{(-a)} + g_{11}^{(-b)} \right) = -\frac{1}{2} \left(\frac{1}{\left(1 - \frac{r_{n1}}{r}\right)} + \frac{1}{\left(1 + \frac{r_{n2}}{r}\right)} \right) = -\frac{r}{2} \left(\frac{1}{(r - r_{n1})} + \frac{1}{(r + r_{n2})} \right), \quad (3.2.85)$$

$$g_{11}^{(+)} = \frac{1}{2} \left(g_{11}^{(+c)} + g_{11}^{(+d)} \right) = \frac{1}{2} \left(\frac{1}{\left(1 - \frac{r_{n3}}{r}\right)} + \frac{1}{\left(1 + \frac{r_{n4}}{r}\right)} \right) = \frac{r}{2} \left(\frac{1}{(r - r_{n3})} + \frac{1}{(r + r_{n4})} \right). \quad (3.2.86)$$

Для случая, когда отличием радиусов ракий голой «планеты» можно пренебречь (т. е. при $r_{n1} \approx r_{n2} \approx r_{n3} \approx r_{n4} = r_n$), усредненные единичные компоненты (3.2.85) и (3.2.86) принимают упрощенный вид

$$g_{11}^{(-)} = -\frac{r}{2} \left(\frac{1}{(r-r_n)} + \frac{1}{(r+r_n)} \right) = -\frac{r^2}{2(r^2-r_n^2)}, \quad (3.2.87)$$

$$g_{11}^{(+)} = \frac{r}{2} \left(\frac{1}{(r-r_n)} + \frac{1}{(r+r_n)} \right) = \frac{r^2}{2(r^2-r_n^2)}. \quad (3.2.88)$$

Подставляя (3.2.87), (3.2.88) и (3.2.84) в соответствующие выражения (3.2.82), получим

$$l_i^{(-)} = \sqrt{\frac{g_{ii}^{(-)}}{g_{ii}^{0(-)}}} - 1 = \sqrt{\frac{r^2}{(r^2-r_n^2)}} - 1, \quad (3.2.89)$$

$$l_i^{(+)} = \sqrt{\frac{g_{ii}^{(+)}}{g_{ii}^{0(+)}}} - 1 = \sqrt{\frac{r^2}{(r^2-r_n^2)}} - 1. \quad (3.2.90)$$

При этом и среднее относительное удлинение внешней оболочки голой «планеты» в радиальном направлении оказывается приближенно равным

$$l_i^{(\mp)} = \frac{1}{2}(l_i^{(-)} + l_i^{(+)}) \approx \sqrt{\frac{r^2}{(r^2-r_n^2)}} - 1. \quad (3.2.91)$$

График этой функции, приведенный на рис. 3.2.11, полностью совпадает с графиком относительной деформации внешней оболочки «электрона» (см. рис. 2.3.3 в [9]), если в нем заменить $r_e \approx 10^{-13}$ см на $r_n \approx 10^7$ см.

Из графика на рис. 3.2.11 видно, что усредненное относительное удлинение внешней оболочки голой «планеты» на большом расстоянии от ее ядра практически равно нулю.

По мере приближения к ядру голой «планеты» (т. е. при $r \sim r_n$) усредненное относительное удлинение λ_{6+7} -вакуума увеличивается. Далее в ракии, отделяющей внешнюю оболочку голой «планеты» от ее ядра (т. е. при $r \approx r_n$), функция (3.2.91) устремляется к бесконечности. При $r < r_n$ эта функция становится мнимой – это математический «намек» на то обстоятельство, что с точки зрения внешнего наблюдателя ядро голой «планеты» находится в постоянном вращательном состоянии.

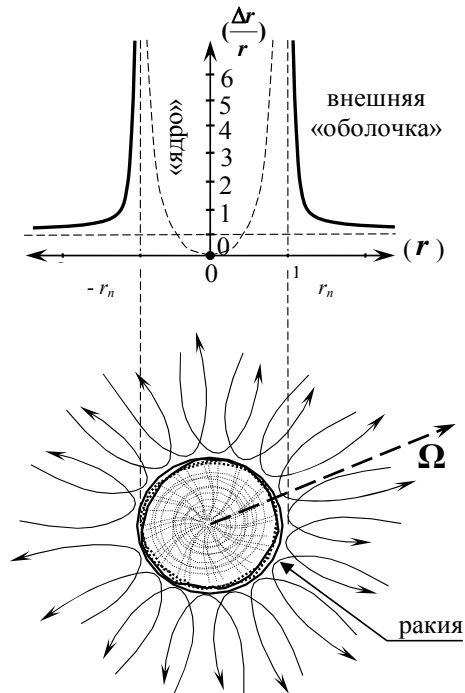
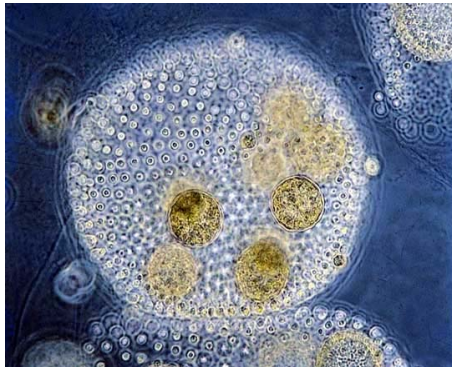


Рис. 3.2.11. Относительное удлинение внешней оболочки голой «планеты»



<http://www.wallpost.ru/>

Деформации и напряжения питательной среды, окружающей одноклеточный микроорганизм, во многом напоминает внешнюю оболочку голой «планеты» (или «звезды»)



<http://img-fotki.yandex.ru/>



<http://www.horoshovsem.ru/>

Фрактальные иллюстрации вакуумных деформаций
вокруг и внутри ядра голой «планеты»

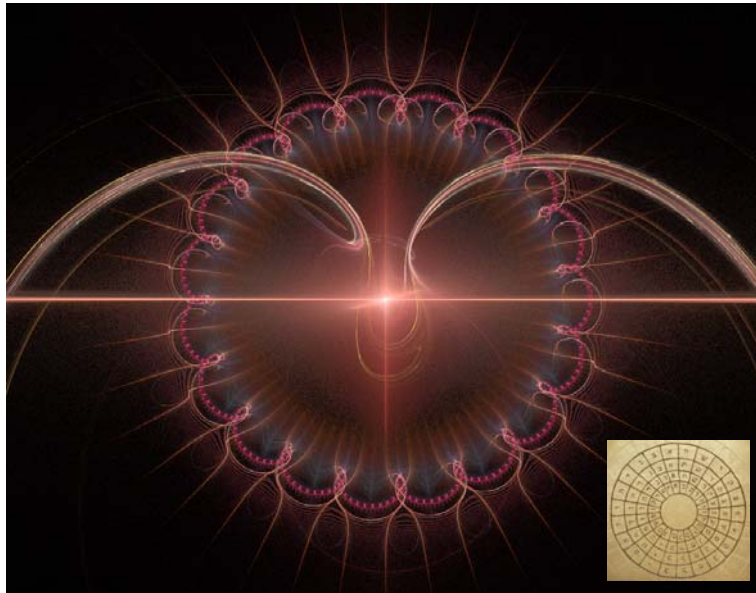


<http://www.horshovsem.ru/>

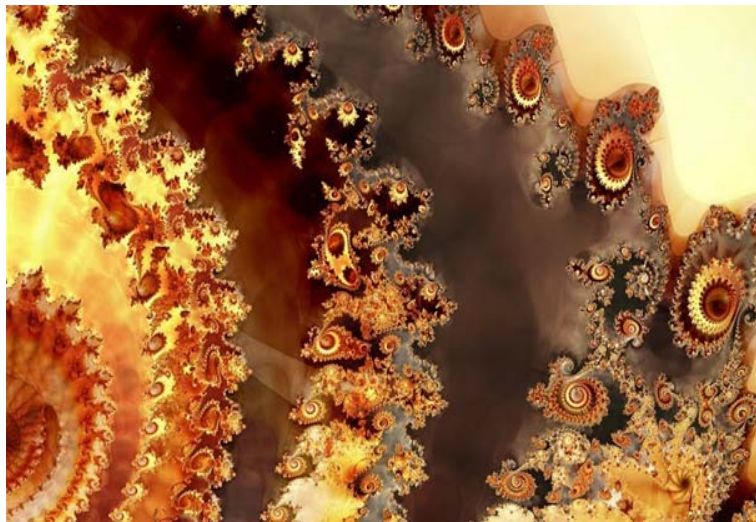


www.fractal-recursions.com

Иллюстрации различных аспектов проявления ракий (т. е. сложно вложенных друг в друга оболочек), окружающих ядро голой «планеты»



<http://e-science.ru/>



www.fractal-recursions.com

Иллюстрации различных аспектов проявления ракий (т. е. сложно вложенных друг в друга оболочек), окружающих ядро голой «планеты»